



УДК 577.112.088.3

НОВАЯ СХЕМА ВЫДЕЛЕНИЯ И ОЧИСТКИ α -ФЕТОПРОТЕИНА ЧЕЛОВЕКА

© 1999 г. А. Ю. Томашевский*, В. Н. Уверский*

Институт биохимии и физиологии микроорганизмов РАН,
142292, Пущино Московской обл.;

* Институт биологического приборостроения РАН, Пущино Московской обл.

Поступила в редакцию 15.05.98 г. Принята к печати 07.08.98 г.

Предложена новая эффективная схема выделения и очистки α -фетопротеина (АФП) человека из пуповинной сыворотки. Схема включает четыре последовательных хроматографических этапа на колонках с использованием “голубой” сефарозы (Cibacron Blue), двух металл-хелатных и одной обращенно-фазовой колонок. Она позволяет быстро получать препараты АФП не ниже 98% чистоты, с высоким выходом ~85% и фактором очистки ~10³.

Ключевые слова: онкоэмбриональный белок; α -фетопротеин; хроматография металл-хелатная; хроматография обращенно-фазовая.

α -Фетопротеин – мажорный белок плазмы крови зародыша млекопитающих [1, 2]. Концентрация этого гликопротеина, синтезируемого в желточном мешке и печени зародыша, поддерживается в плазме крови эмбриона на высоком уровне в течение всего периода беременности и резко падает вскоре после рождения [1, 2]. В крови здоровых взрослых наблюдаются только следовые количества этого белка [1, 2], а повышение концентрации АФП сопровождает развитие таких заболеваний, как доброкачественные и злокачественные воспаления печени, рак кожи и многие другие [3, 4]. Показано, что изменение концентрации АФП в крови плода в ходе беременности также обусловлено формированием различных пороков плода (дефекты нервной трубки и брюшной полости, синдром Дауна). Таким образом, тестирование концентрации АФП в плазме крови имеет большое диагностическое значение.

Установлено, что АФП в организме выполняет ряд чрезвычайно важных биологических функций – начиная с транспорта гидрофобных лигандов и кончая подавлением иммунного ответа организма матери на развивающийся плод или организма онкологического больного на развивающуюся раковую опухоль [4]. Однако структурные свойства АФП все еще плохо изучены. Очевидно, что для проведения детальных исследований функциональных и структурных свойств АФП (как *in vivo*, так и *in vitro*) необходимы значительные количества хорошо очищенного нативного белка.

Процесс выделения и очистки АФП осложнен тем, что этот белок близок к сывороточному альбумину (СА) по целому ряду характеристик, таких

как растворимость, молекулярная масса и поверхностный заряд. Для разделения этих белков существует несколько схем. Первая схема основана на использовании различных физико-химических методов разделения белков и включает препаративный электрофорез [5], ионообменную хроматографию и гель-фильтрацию [6] или аффинную хроматографию на носителях, содержащих ковалентно пришитый конканавалин А (Con A) [7] или краситель Cibacron Blue [8]. Альтернативная схема выделения АФП основана на использовании иммунохимических различий между этим белком и СА. В этом случае выделение АФП осуществляется хроматографически в несколько этапов. При этом, как правило, применяются как положительные (анти-АФП [9–13], так и отрицательные (анти-СА [14]) иммunoспецифические сорбенты.

Металл-хелатная аффинная хроматография и обращенно-фазовая жидкостная хроматография находят широкое применение как для выделения и очистки различных полипептидов и белков, так и для исследования структурных свойств белков и проведения анализа их аминокислотного состава [15–17]. Мы использовали эти два вида жидкостной хроматографии в новой схеме выделения и очистки АФП, реализация которой позволит быстро (в течение одной недели) получать существенные количества этого белка.

Выделение и очистка АФП из сыворотки пуповины зародыша человека. АФП из сыворотки пуповины зародыша человека выделяли с помощью аффинной хроматографии с использованием “голубой” сефарозы и металл-хелатных носителей, уравновешенных растворами солей Cu²⁺ или Ni²⁺. На последней стадии очистки белка бы-

* Автор для переписки (e-mail: tom@ibpm.serpukhov.su).

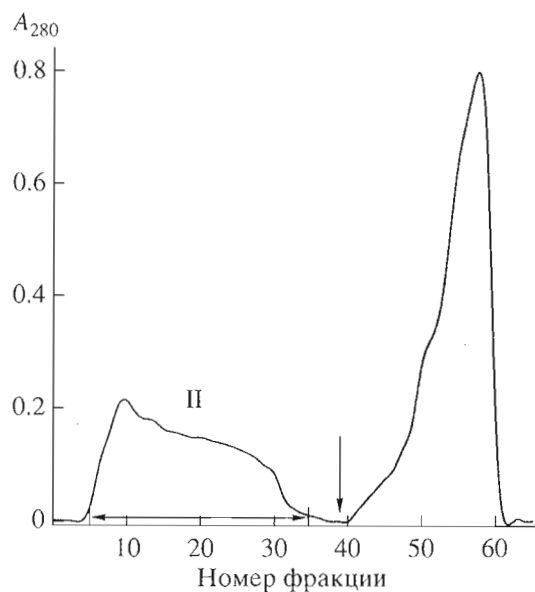


Рис. 1. Хроматография суммарных белков плазмы крови на колонке с "голубой" сефарозой. Условия см. в разделе "Эксперимент. часть". Объем фракций 200 мл. Указаны границы объединенной фракции, содержащей АФП (раствор II). Стрелкой указан момент добавления 1 M NaCl.

ла использована обращенно-фазовая хроматография. Процедура выделения и очистки АФП подробно рассмотрена в разделе "Эксперимент. часть". Профили элюции, полученные на разных стадиях очистки, приведены на рис. 1-4.

В таблице суммированы результаты каждого из этапов очистки АФП. Видно, что на двух первых стадиях целевой продукт элюируется практически без разбавления в свободном объеме колонки, тогда как большинство примесных белков (в том числе и заметная часть СА) удерживаются на колонке. На этих этапах происходит 4-кратное уменьшение концентрации примесных белков. Пропускание продукта через металл-хелатную колонку, заряженную ионами меди (третья стадия), увеличивает относительную концентрацию АФП до ~50%. Поскольку на этом этапе элюирование АФП осуществляется в линейном градиенте концентрации хлористого аммония, то автоматически происходит и концентрирование целевого продукта (объем раствора, содержащего АФП, уменьшается почти в 50 раз). Необходимо особо подчеркнуть и тот факт, что по результатам иммуноэлектрофоретических и иммунохимических методов анализа на данном этапе очистки более 50% оставшегося примесного белка составляет СА (рис. 4, см. ниже). Финальная стадия очистки — обращенно-фазовая хроматография — позволяет получать гомогенные препараты АФП со степенью чистоты не менее 98%. Что касается потерь целевого продукта в процессе выделения, то на каждой из стадий потеряется ~4% АФП.

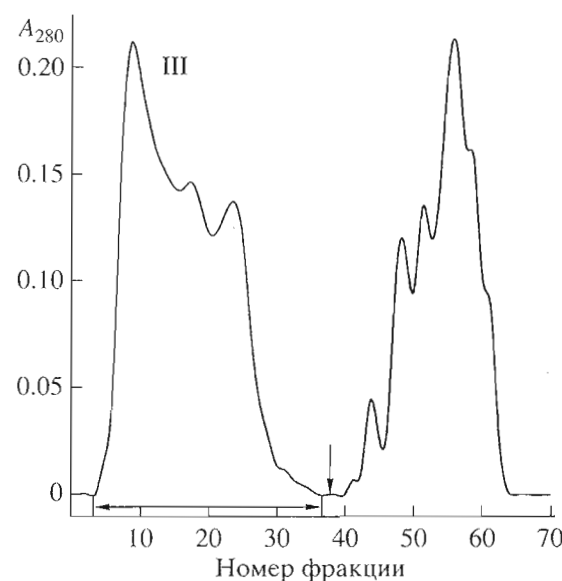


Рис. 2. Профиль элюции фракции АФП (рис. 1, фракция II) с металл-хелатной колонки с сефарозой 4B-Ni²⁺. Условия см. в разделе "Эксперимент. часть". Объем фракций составлял 200 мл. Указаны границы объединенной фракции, содержащей АФП (раствор III). Стрелкой указан момент добавления 100 mM EDTA.

Эффективность очистки АФП. Особо остановимся на анализе эффективности очистки АФП, которая контролировалась такими методами как нативный и денатурирующий гель-электрофорез, ракетный иммуноэлектрофорез, ELISA-тест,

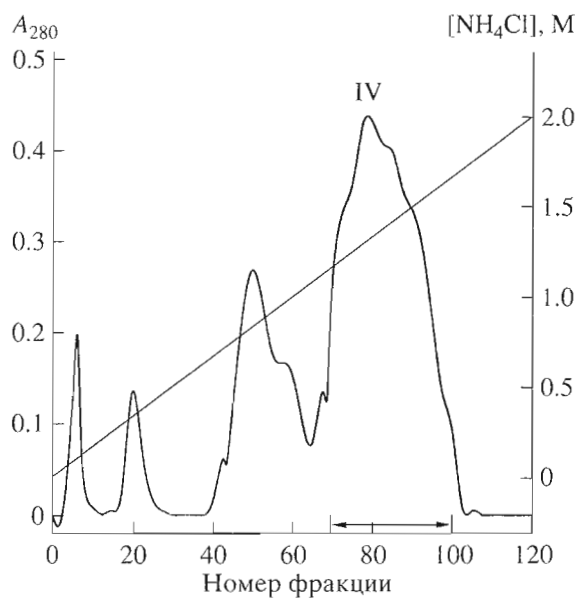


Рис. 3. Профиль элюции АФП (рис. 2, фракция III) с металл-хелатной колонки с сефарозой 4B-Cu²⁺. Условия см. в разделе "Эксперимент. часть". Объем фракций составлял 5 мл. Указаны границы объединенной фракции, содержащей АФП (раствор IV).

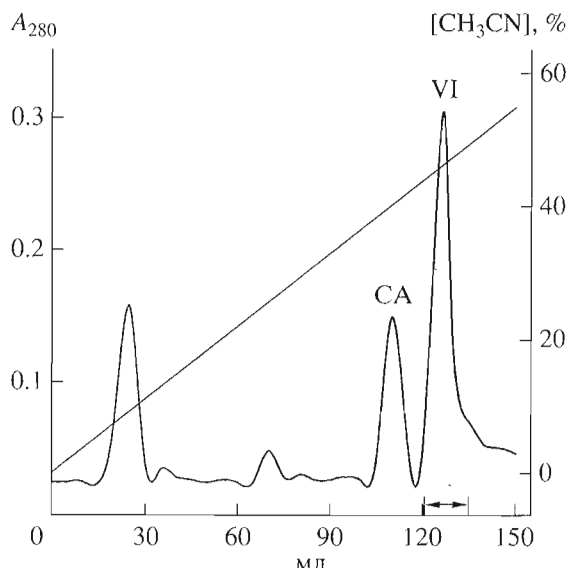


Рис. 4. Профиль элюции АФП (раствор V) с обращенно-фазовой колонки. Условия см. в разделе "Эксперимент. часть". Указаны границы объединенной фракции, содержащей АФП (раствор VI) и пик СА.

обращенно-фазовая хроматография и гель-фильтрация. Согласно этим тестам степень чистоты полученного препарата составила не менее 98%.

В качестве примера на рис. 5 приведены результаты проверки чистоты выделенного белка с помощью обращенно-фазовой хроматографии. Факт элюции очищенного АФП единственным пиком (рис. 5а) говорит о гомогенности полученного образца белка. Однако само по себе это наблюдение не могло быть использовано в качестве критерия чистоты целевого продукта. Действительно, нами было показано (см. выше), что перед последней стадией очистки большую часть примесных белков составляет СА. Как уже говорилось, сходство основных физико-химических свойств этого белка и АФП является главной трудностью очистки последнего. Поэтому вполне вероятно, что эти белки имеют также и схожее средство к обращенно-фазному сорбенту. Для

проверки этого предположения исследовали подвижность коммерческого препарата СА человека и эквимолярной смеси этого белка и АФП. Результаты данных исследований представлены на рис. 5б и в, соответственно. Из рисунка видно, что АФП и СА существенно отличаются по хроматографической подвижности (максимумы соответствующих пиков наблюдаются при ~47 и ~41% ацетонитрила). Следует отметить также, что пик с максимумом при ~41% ацетонитрила наблюдался и в профиле, полученном на последней стадии очистки (рис. 4). Таким образом, приведенные данные свидетельствуют о том, что нами получен гомогенный высокоочищенный препарат АФП.

Целесообразнее остановиться на последней стадии очистки АФП на широкопористом обращенно-фазовом носителе RPSC в градиенте концентрации ацетонитрила при pH 2.0. Нельзя исключить, что такие достаточно жесткие условия могут значительно влиять как на структурные свойства белковой молекулы, в частности на ее уникальную третичную структуру, так и на степень насыщения получаемого препарата природными лигандами (ненасыщенными жирными кислотами). Данный вопрос был детально исследован в ряде наших работ [19–24]. Оказалось, что молекулы АФП в препаратах, получаемых по предлагаемой схеме, обладают жесткой кооперативно плавящейся третичной структурой и содержат по крайней мере часть природных лигандов.

Следует отметить, что хотя в литературе описаны различные схемы очистки АФП [5–14], все они имеют некоторые ограничения. Например, колонки с иммunoсорбентами (как положительными, так и отрицательными) имеют ограниченную емкость [4]. Если же использовать носители с низкой аффинностью, то конечный выход продукта невысок. В то же время, для элюции АФП с высокояффинными носителями необходимо применять растворы сильных хаотропных агентов высоких концентраций, например 8 М раствор мочевины. Очевидно, что такая процедура может заметно повлиять на структуру очищенного белка. При использовании традиционных хроматографических подходов (ионообменная хроматография, гель-фильтрация и др.) при очистке АФП происходит существенное разбавление растворов белка, к тому же выход очищенного препарата обычно не очень высок. Этих недостатков лишен метод очистки АФП с использованием аффинной хроматографии на носителях с иммобилизованным Con A [7], но этот подход может быть эффективно использован только на строго определенных этапах развития зародыша, поскольку средство АФП к Con A сильно меняется в процессе эмбриогенеза [4]. Действительно, было показано, что на ранних стадиях развития плода в плазме крови зародыша содержится незначительное количество АФП, способного эффектив-

Количественные характеристики стадий очистки АФП из пуповинной сыворотки человека

Препаратор (раствор)	Объем	Содержание, мг/мл		Степень чистоты, %
		Суммарного белка	АФП	
I	4.8 л	50.0	0.05	0.10
II	6.0 л	12.5	0.04	0.32
III	7.2 л	8.0	0.032	0.40
IV	150 мл	3.0	1.45	48.3
VI	60 мл	3.57	3.5	>98.0

но взаимодействовать с Con A [4, 18]. Максимальное количество Con A-реактивного белка наблюдается приблизительно на третьем месяце развития плода, в дальнейшем же его концентрация существенно снижается [4, 18].

Подчеркнем, что при всей упоминавшейся в вводной части схожести физико-химических характеристик АФП и СА, в свойствах молекул этих белков все же существует ряд различий. Так, известно, что сродство СА к "голубой" сефарозе заметно выше, чем сродство АФП к данному носителю, в то же время СА значительно уступает АФП в способности связывать ионы двухвалентных металлов и является несколько менее гидрофобным белком. Данные различия и взяты за основу предлагаемой нами схемы выделения и очистки АФП. Из приведенных в работе результатов следует, что такая схема практически лишена перечисленных выше ограничений и позволяет быстро получать гомогенные препараты АФП (фактор очистки $\sim 10^3$) с достаточно высоким выходом ($\sim 85\%$).

ЭКСПЕРИМЕНТАЛЬНАЯ ЧАСТЬ

В работе использовали: сефарозу 4B, иминодиуксусную кислоту, боргидрид натрия, трихлоруксусную кислоту, эпихлоргидрин, соли и антитела (Sigma), реагенты для электрофореза (Bio-Rad), обращенно-фазовую колонку RPSC C-3 (0.1×25 см, Beckman). Работу с использованием обращенно-фазовой хроматографии проводили на системе высокоэффективной жидкостной хроматографии (HPLC, LKB-Pharmacia), состоящей из двух насосов 2150 HPLC Pump, контроллера 2152 HPLC Controller и регистрирующей ячейки 2158 Uvicord (LKB-Pharmacia). Для очистки белка использовали препаративную колонку C-3 Ultrapore (Beckman, США) (2.15×25 см); скорость элюции составляла 2.0 мл/мин. Для оценки степени чистоты препарата использовали аналитическую обращенно-фазовую колонку C-3 Ultrapore (Beckman, США) (25×0.46 см); скорость элюции 0.5 мл/мин. При хроматографии на "голубой" сефарозе и сефарозе 4B-Ni²⁺ элюция осуществлялась самотеком. Хроматографию на колонке с сефарозой 4B-Cu²⁺ проводили со скоростью 2.5 мл/мин, используя перистальтический насос 2132 Micro Perrex (LKB-Pharmacia). Во всех случаях регистрацию вели с помощью регистрирующей ячейки 2158 Uvicord SD (LKB-Pharmacia), а для сбора фракций использовали коллектор 2211-SuperRac (LKB-Pharmacia).

Идентификацию АФП и проверку качества препарата осуществляли с использованием стандартного метода ракетного иммуноэлектрофореза [25]. Качество очистки полученного препарата белка тестировали, используя ряд стандартных физико-химических и иммунохимических методов, таких, как гель-фильтрация, обращенно-фа-

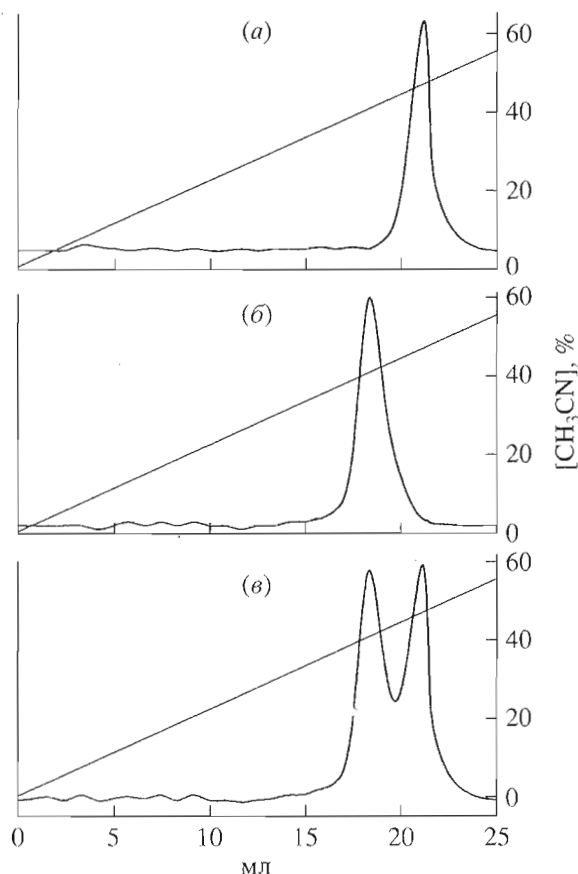


Рис. 5. Анализ чистоты АФП с помощью обращенно-фазовой хроматографии. Приведены профили элюции препарата АФП, очищенного по предлагаемой методике (а); коммерческого препарата СА (б); смеси очищенного препарата АФП и коммерческого препарата СА (1 : 1 по весу) (в). Элюцию осуществляли в линейном градиенте концентрации ацетонитрила (0–55%) в буфере, содержащем 1 мМ триэтиламин и 0.1% трихлоруксусную кислоту, pH 2.0. Скорость элюции 0.5 мл/мин.

зовая хроматография, нативный и денатурирующий (SDS) электрофорез в полиакриламидном геле, иммуноблоттинг и ELISA-тест с антителами против человеческого сывороточного альбумина, трансферрина и α -антитрипсина.

Приготовление носителей для металл-хелатной аффинной хроматографии. Эпоксиактивированный носитель – сефарозу 4B получали, используя эпихлоргидрин, методом, предложенным в работе [16].

"Голубую" сефарозу (Cibacron Blue сефарозу 4B) получали путем насыщения эпоксиактивированной сефарозы 4B красителем Cibacron Blue по методике, предложенной в работе [8]. Полученный сорбент был упакован в колонку (24 × 32 см). Непрореагировавший краситель удаляли, используя PBS-буфер (20 мМ натрий-фосфат, 150 мМ NaCl, pH 7.5).

Металл-хелатные носители получали из эпоксиактивированной сефарозы 4B. С этой целью данный носитель обрабатывали иминодиуксусной кислотой, как описано в работе [16], и упаковывали в стеклянные колонки: 14 × 16 см – для сефарозы 4B-Ni²⁺ или 6 × 40 см – для сефарозы 4B-Cu²⁺. Активированную смолу насыщали ионами Ni²⁺ или Cu²⁺, пропуская через колонку растворы NiCl₂ или CuSO₄ (3–5 мг/мл). Несвязанные ионы металлов вымывали, пропуская через колонку большие объемы PBS-буфера (20 и 10 л для сефарозы 4B-Ni²⁺ и сефарозы 4B-Cu²⁺, соответственно).

Процедура очистки АФП. Первая стадия – очистка на колонке с “голубой” сефарозой. Пуповинную сыворотку (5,0 л) в течение 30 мин центрифугировали при 40000 об/мин. Супернатант фильтровали через 0,45-мкм мембрану (HA, Millipore). В результате получали 4,8 л прозрачного раствора (I) с концентрацией суммарного белка плазмы крови ~50 мг/мл и концентрацией АФП – 0,05 мг/мл. Иными словами, в исходном растворе относительная концентрация АФП не превышала ~0,1% суммарного белка (таблица).

Полученный раствор (I) самотеком пропускали через колонку с “голубой” сефарозой, уравновешенную PBS-буфером (рис. 1). Было установлено, что АФП элюируется в свободном объеме колонки. Часть примесных белков связывалась с носителем колонки, их элюировали добавлением 1 М NaCl.

Содержащие АФП фракции были собраны и объединены в объеме ~6 л (раствор II), при этом концентрация суммарного белка уменьшилась до 12,5 мг/мл, а концентрация АФП осталась практически неизменной (0,04 мг/мл). Таким образом, после первого этапа очистки относительная концентрация АФП увеличилась до ~0,3% суммарного белка (таблица).

Вторая стадия – очистка на колонке с сефарозой 4B-Ni²⁺. Раствор II самотеком пропускали через металл-хелатную колонку с сефарозой 4B-Ni²⁺, предварительно уравновешенную буфером A (20 мМ натрий-fosfат, 1,5 М NaCl, pH 7,2). Элюцию проводили самотеком тем же буфером (рис. 2). Результаты иммуноэлектрофореза показали, что в данных условиях АФП также не связывается с носителем колонки. Как и на первом этапе очистки часть примесных белков взаимодействовала с носителем колонки. Их элюировали буфером A с добавлением 100 мМ EDTA.

Фракции, содержащие АФП, были собраны и объединены в объеме 7,2 л (раствор III). Концентрация суммарного белка в растворе III составила 8,0 мг/мл, а концентрация АФП – 0,032 мг/мл. Таким образом, на втором этапе очистки относительная концентрация целевого продукта возросла до ~0,4% суммарного белка (таблица).

Третья стадия – очистка на колонке с сефарозой 4B-Cu²⁺. Раствор III наносили на металл-хелатную колонку с сефарозой 4B-Cu²⁺, предварительно уравновешенную буфером A, с которой связывался АФП и ряд примесных белков. Элюцию осуществляли в градиенте концентрации хлористого аммония (0–2 М) в том же буфере (рис. 3). Скорость элюции составляла 2,5 мл/мин.

В данных условиях АФП элюировался относительно узким пиком (рис. 3). Объем фракции, содержащей целевой продукт (раствор IV) составил ~150 мл с концентрацией суммарного белка 3 мг/мл, при этом концентрация АФП возросла до 1,45 мг/мл. Третий этап очистки повысил относительную концентрацию АФП более чем в 10 раз – до ~50% суммарного белка (таблица).

Четвертая стадия – очистка обращенно-фазовой хроматографией. АФП из раствора IV высаживали добавлением сульфата аммония (440 г/л). Далее осадок растворяли в 20 мл PBS-буфера, содержащего 1 мМ триэтиламина и 0,1% трихлоруксусную кислоту (раствор V). Очистку обращенно-фазовой хроматографией проводили в 4 приема. По 5 мл раствора V наносили на обращенно-фазовую колонку C-3, уравновешенную буфером, содержащим 1 мМ триэтиламин и 0,1% трихлоруксусную кислоту, pH 2,0. Элюцию АФП осуществляли в линейном градиенте концентрации ацетонитрила (0–55%) со скоростью 2,0 мл/мин. АФП элюировался симметричным пиком с максимумом концентрации ацетонитрила 46,5% (рис. 4). Фракции, содержащие очищенный белок, собирали и объединяли (раствор VI, 60 мл) (таблица).

Раствор VI концентрировали в ультрафильтрационной системе Minitan и пропускали через колонку PD-10 с сефадексом G-25 для замены буфера с ацетонитрилом на PBS-буфер.

Данная работа выполнена при финансовой поддержке Российского фонда фундаментальных исследований (№ 97-04-48044) и INTAS-РФФИ (№ 95-1278).

СПИСОК ЛИТЕРАТУРЫ

1. Halbrech I., Klibanski C. // Nature. 1956. V. 178. P. 794–795.
2. Ruoslahti E., Seppala M. // Nature. 1972. V. 235. P. 161–162.
3. Abelev G.I. // Adv. Cancer Res. 1971. V. 28. P. 295–358.
4. Deutsch H.F. // Adv. Cancer Res. 1991. V. 56. P. 253–312.
5. Tecce M.F., Terrana B. // Anal. Biochem. 1988. V. 169. P. 306–311.
6. Parmelee D.C., Evenson M.A., Deutsch H.F. // J. Biol. Chem. 1978. V. 253. P. 2114–2119.
7. Page M. // Can. J. Biochem. 1973. V. 51. P. 1213–1215.

8. Birkenmeier G., Usbeck E., Kopperschlager G. // Anal. Biochem. 1984. V. 136. P. 264–271.
9. Nishi S. // Cancer Res. 1970. V. 30. P. 2507–2513.
10. Adinolfi A., Adinolfi M., Cohen S. // Biochim. Biophys. Acta. 1971. V. 251. P. 197–207.
11. Ruoslahti E., Seppala M. // Int. J. Cancer. 1971. V. 7. P. 218–225.
12. Hirai H., Tsukada Y., Koji T., Ishii N., Kaneda H., Kasai Y. // Protides Biol. Fluids. 1983. V. 31. P. 757–765.
13. Kapadia G.G., Kortright K.H., Lee S.Y., McIntire K.R., Waldmann T.A. // Prep. Biochem. 1979. V. 9. P. 109–132.
14. Balig M.M. // Anal. Biochem. 1980. V. 101. P. 200–203.
15. Lönnerdal B., Kleen C.L. // J. Appl. Biochem. 1982. V. 4. P. 203–208.
16. Porath J., Olin B. // Biochemistry. 1983. V. 22. P. 1621–1630.
17. Sulkowski E. // Trends Biotechnol. 1985. V. 3. P. 1–7.
18. Ruoslahti E., Engwall E., Pekkala A., Seppala M. // Int. J. Cancer. 1978. V. 22. P. 515–520.
19. Uversky V.N., Kirkitadze M.D., Narizhneva N.V., Potekhin S.A., Tomashevski A.Yu. // FEBS Lett. 1995. V. 364. P. 165–167.
20. Кирkitадзе М.Д., Нарижнева Н.В., Томашевский А.Ю., Потехин С.А., Уверский В.Н. // Биоорганическая химия. 1996. Т. 22. С. 408–414.
21. Нарижнева Н.В., Иванова Т.В., Томашевский А.Ю., Уверский В.Н. // Молекулярная биология. 1997. Т. 31. С. 1128–1133.
22. Narizhneva N.V., Uversky V.N. // Protein and Peptide Letters. 1997. V. 4. P. 243–249.
23. Uversky V.N., Narizhneva N.V., Ivanova T.V., Tomashevski A.Yu. // Biochemistry. 1997. V. 36. P. 13638–13645.
24. Uversky V.N., Narizhneva N.V., Ivanova T.V., Kirkitadze M.D., Tomashevski A.Yu. // FEBS Lett. 1997. V. 410. P. 280–284.
25. Laurell C.B. // Anal. Biochem. 1966. V. 15. P. 45–52.

A New Scheme for the Isolation and Purification of Human α -Fetoprotein

A. Yu. Tomashevskii# and V. N. Uverskii****

*Institute of Biochemistry and Physiology of Microorganisms, Russian Academy of Sciences,
Pushchino, Moscow oblast, 142292 Russia

**Institute of Biological Instrument Making, Russian Academy of Sciences,
Pushchino, Moscow oblast, 142292 Russia

A new efficient scheme for the isolation and purification of human α -fetoprotein from human cord serum was proposed. Sequential chromatography on four columns (Cibacron Blue Sepharose, two metal chelate, and one reversed-phase) helped rapidly prepare α -fetoprotein samples of high purity (no less than 98%; purification factor $\sim 10^3$) in high yields ($\sim 85\%$).

Key words: α -fetoprotein, metal chelate chromatography, oncofetal protein, reversed-phase chromatography

To whom correspondence should be addressed; e-mail: tom@ibpm.serpukhov.su.